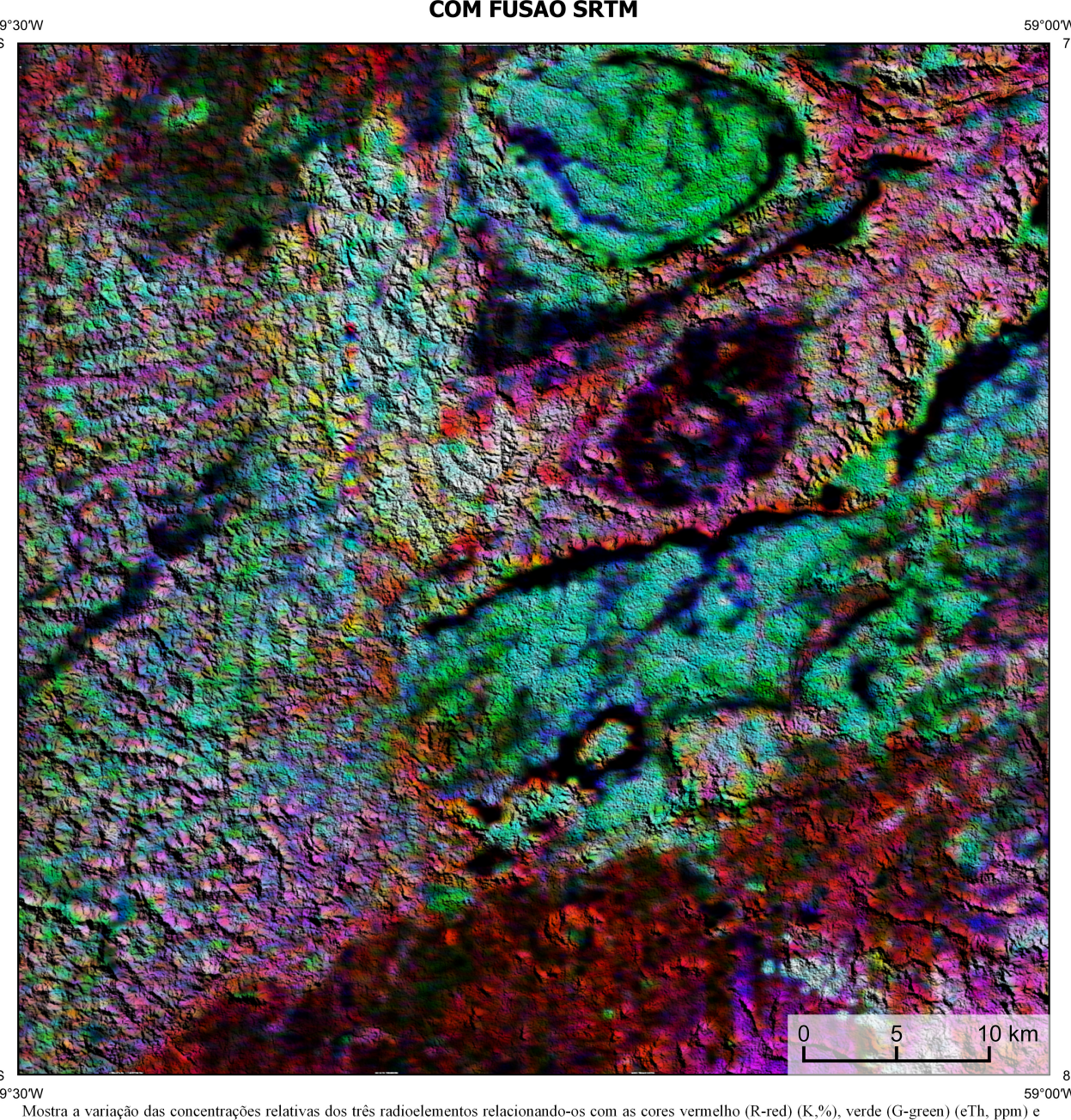
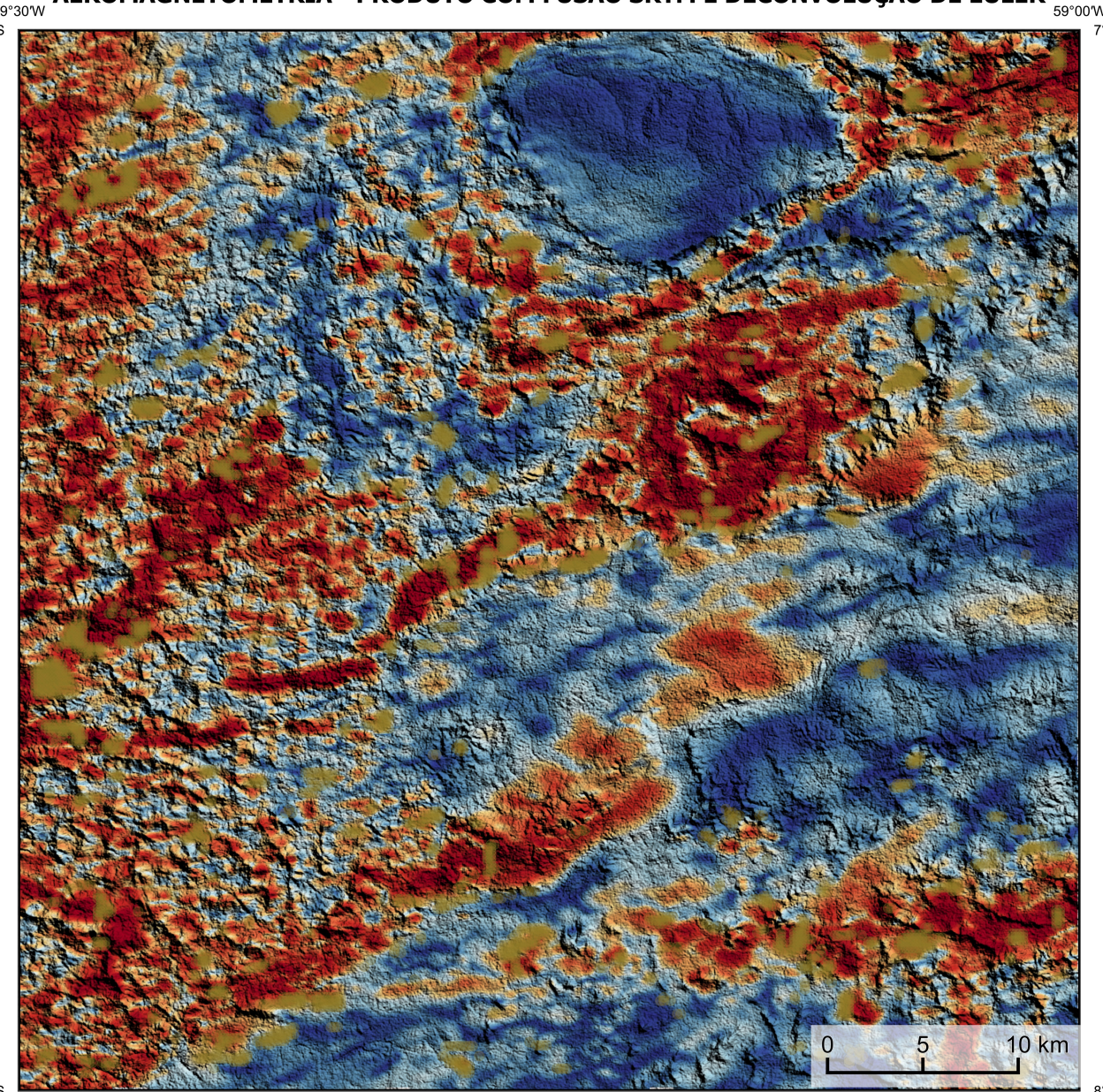


AEROGAMAESPECTROMETRIA - IMAGEM DE COMPOSIÇÃO TERNÁRIA RGB (K-eTh-eU)
COM FUSÃO SRTM



AEROMAGNETOMETRIA - PRODUTO COM FUSÃO SRTM E DECONVOLUÇÃO DE EULER



MODELO DIGITAL DO TERRENO E BASE CARTográfICA COM A IDENTIFICAÇÃO DAS ESTAÇÕES GEOQUÍMICAS DE SEDIMENTOS DE CORRENTE (QUANDO EXISTIR)

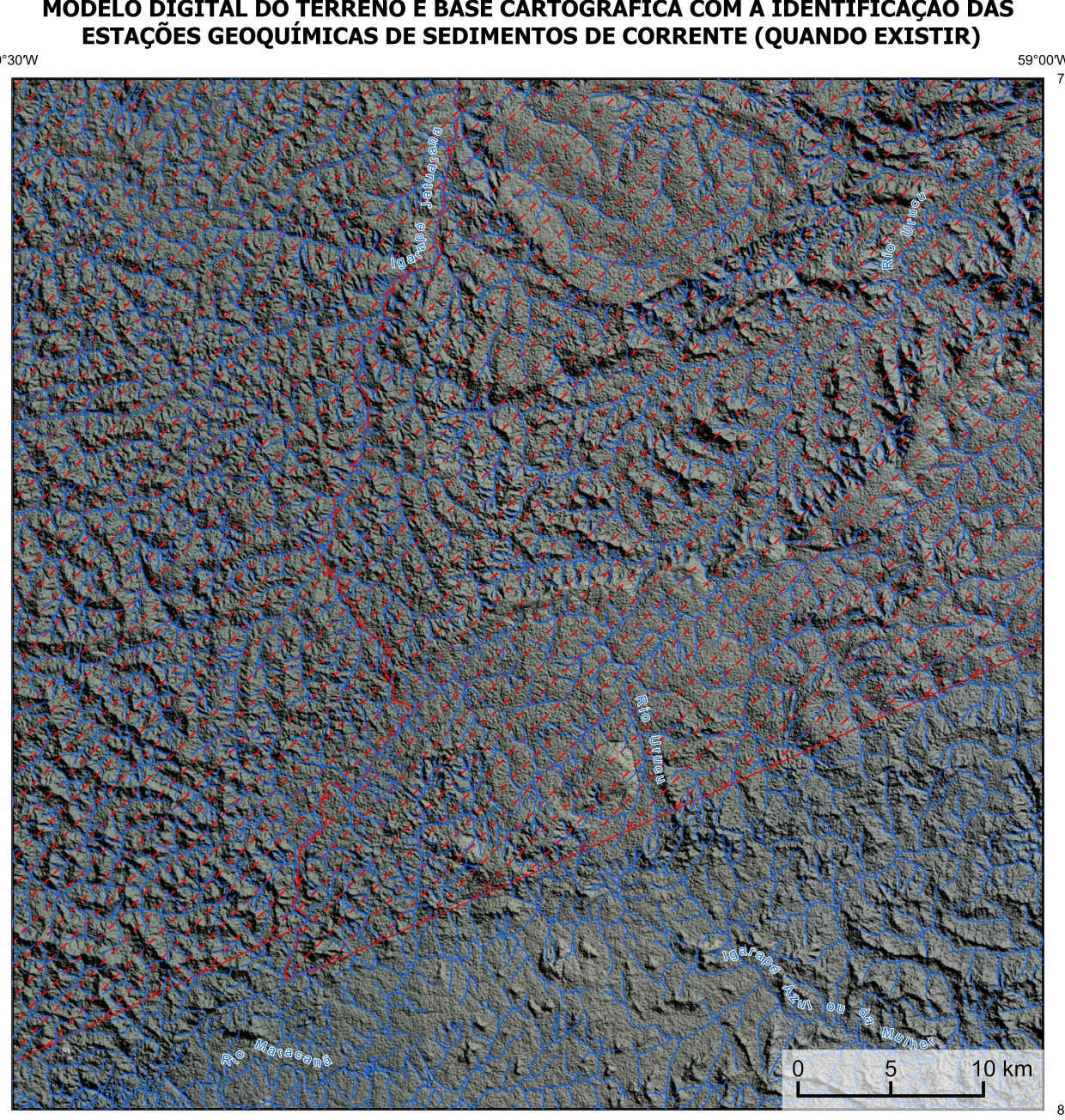
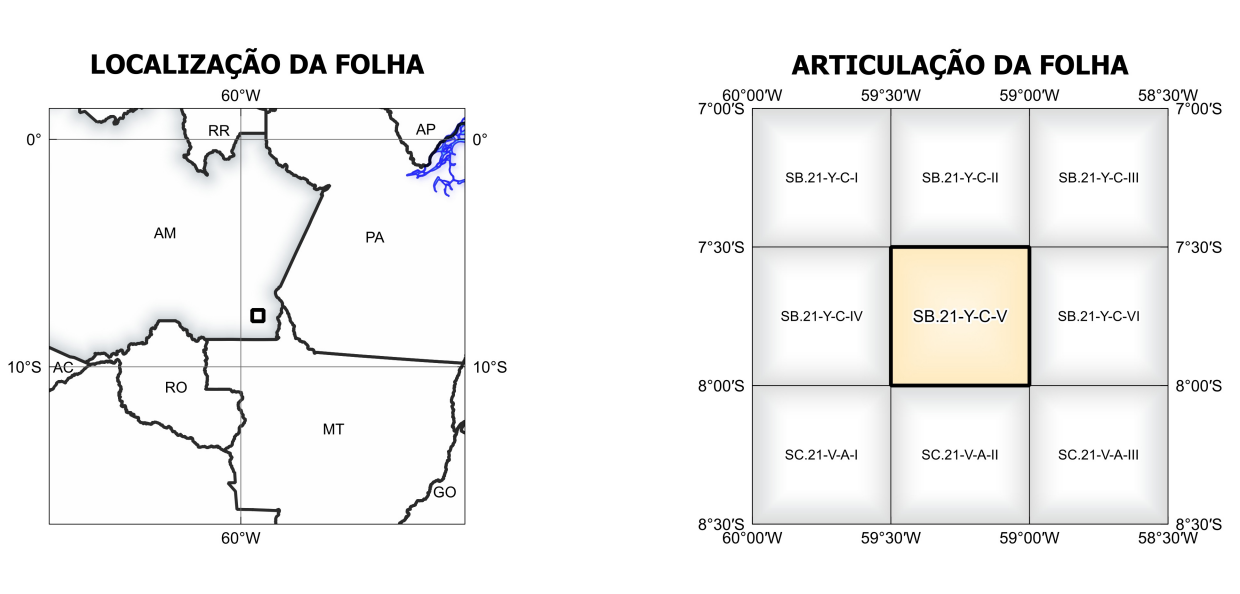
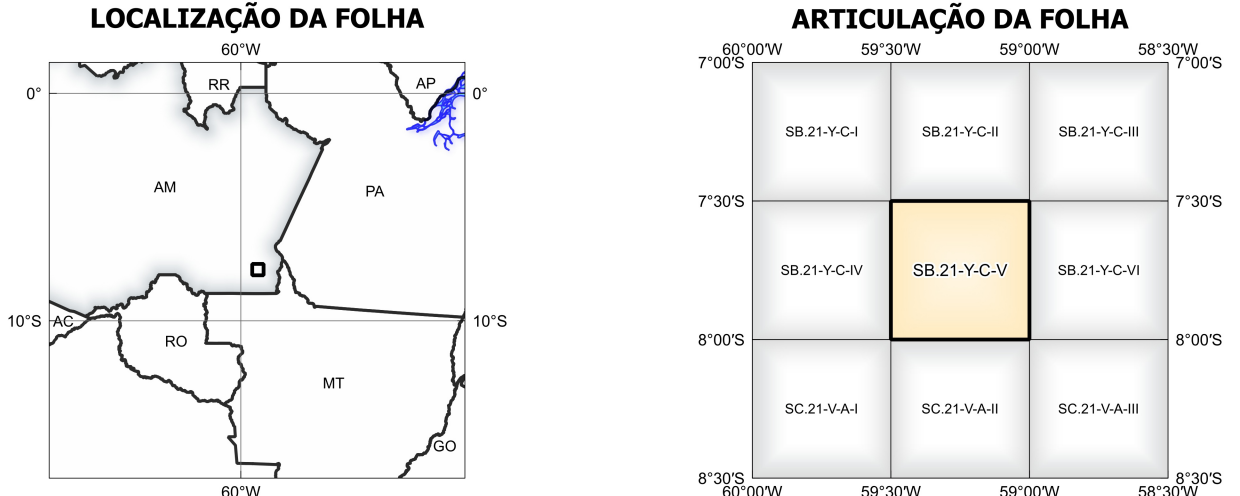
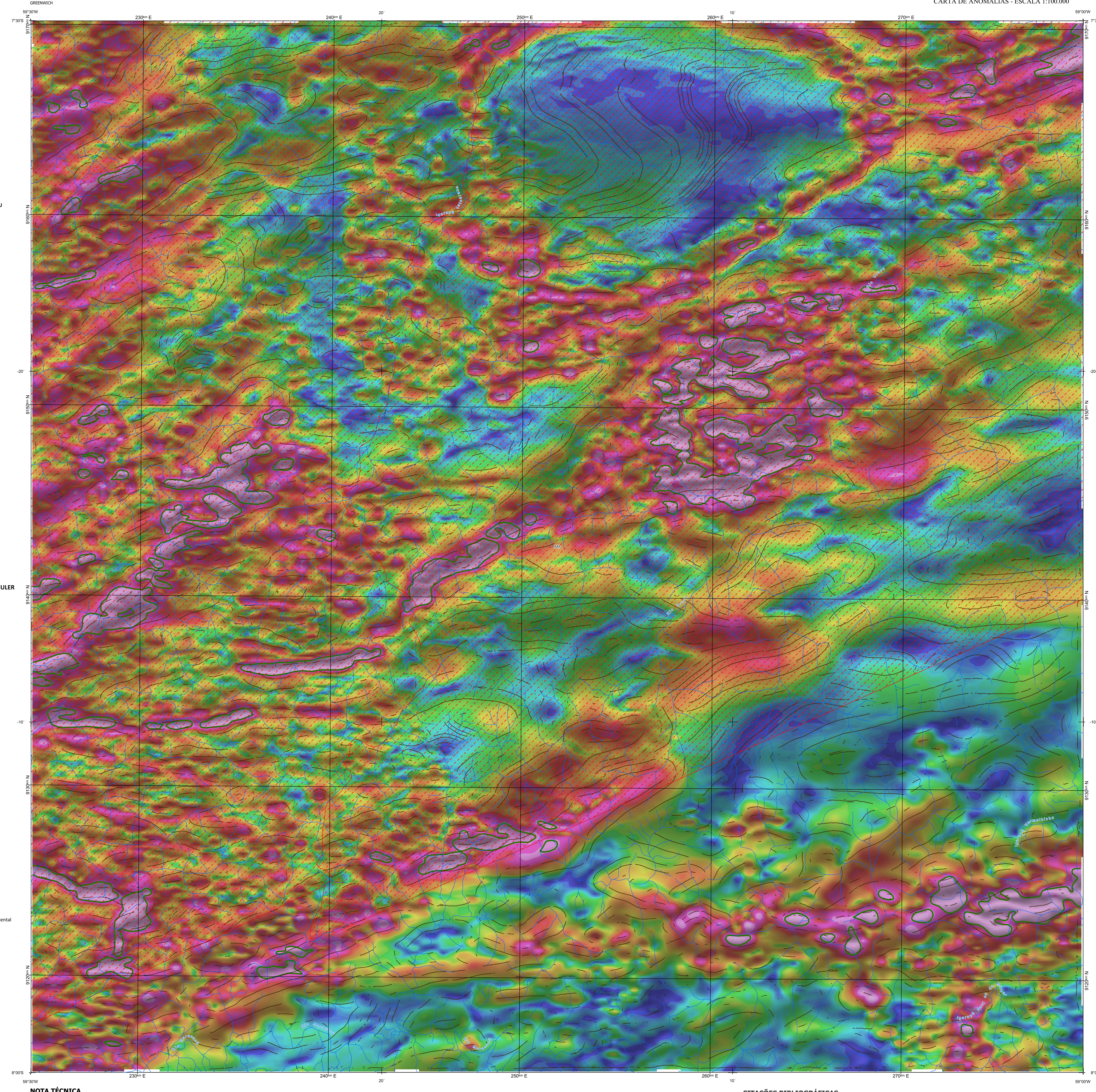


IMAGEM GOOGLE EARTH - JULHO 2022.



FOLHA SB.21-Y-C-V

GREENWICH



NOTA TÉCNICA

O modelo com a melhor combinação de hipersparâmetros é utilizado para prever as hidrologias. Uma das limitações mais notáveis da metodologia é o aspecto aleatório com base em mapas de baixa resolução (1:250k), ficando com que os dados de remoção, validação, e teste sejam altamente contaminados com viés de interpretação.

O método de extração automática de linamentos magnéticos é dividido em duas etapas: i) análise de textura para realçar as variações magnéticas locais, ii) detecção de sismos para identificar as discontinuidades magnéticas (HOLDEN *et al.*, 2008). O método é eficiente para detectar zonas de cisalhamento, falhas rupturadas, e linimentos magnéticos. Indica os linimentos automáticos como um guia à interpretação estrutural. Todavia, a interpretação spatial da distribuição de training data e do uso de explicit spatial information. Computers & Geosciences, v. 63, p. 22-33.

A composição do Gradiente Total (GT) binária com a inclusão do Sinal Analítico (ISA) - MAPA PRINCIPAL - tem como objetivo resultar os pontos fortalecidos dos filtros. Dentro dos filtros citados, o GT apresenta a maior correlação com a geologia de superfície; porém, a resolução com o aspecto de referência é relevante. Como a ISA equaliza as fontes profundas as amplitudes das ondas, o problema GT é minimizado. Desta forma, têm-se um produto que não existem dados geológicos para esta folha. Os dados geológicos estão disponíveis no Sistema de Geociências do Serviço Geológico do Brasil (GeoGB).

O conteúdo disponibilizado nesta carta ("Conteúdo") foi elaborado pelo Serviço Geológico do Brasil - CPRM, com base em dados obtidos através de trabalhos próprios e de referências terceiros. O SGB/CPMR não garante que (i) que o Conteúdo atenda ou se adequa às necessidades de todos os usuários; (ii) que o Conteúdo é adequado e devidamente livre de falhas; (iii) o total preceção de quaisquer dados ou informações contidas no Conteúdo, apesar das precauções de privacidade tomadas pelo SGB/CPMR. Assim, o SGB/CPMR, seus representantes, dirigentes, prepostos, empregados e assessores são todos somente responsáveis por eventuais inconsistências ou omissões contidas no Conteúdo. O SGB/CPMR não se responsabiliza por danos ou perdas que possam resultar da utilização do Conteúdo.

As amostras de concentrados de minerais preciosos foram obtidas de maneira simples a partir de 15 % de material aluvial, e acondicionadas em sacos plásticos. As amostras foram submetidas à análise mineralógica ótico semiquantitativa e contagem de partículas de ouro nos Laboratórios de Análises Minerais do SGB/CPMR nas superintendências Regionais de Porto Alegre e Recife. Os pontos de destaque mineralógico foram selecionados por critérios particulares de ouro aluvial. A metodologia consiste em separar todos os dados em folhas 1:100k e ajustar qualquer diferença de proporcionalidade entre as imagens a menor resolução dos dados.

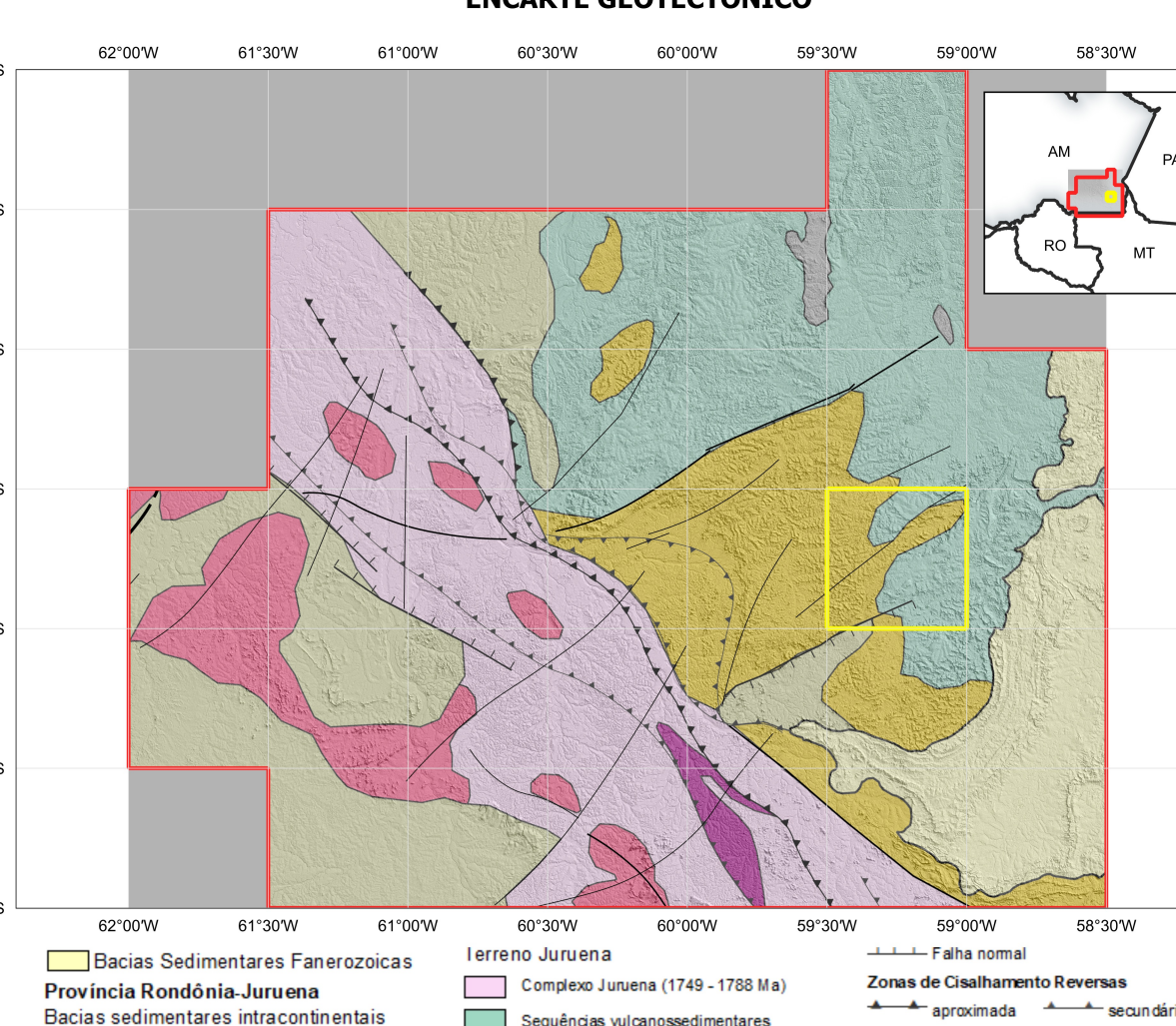
Os mapas geológicos preditivos (CRACKNELL & READING, 2019) - ENCARTE GEOLÓGICO PREDITIVO - apresentam resultados com objetivo subordinado que visam auxiliar na identificação de potenciais bacias hidrográficas. Esse resultado é denominado "carta de anomalias" e é gerado a partir de dados geológicos que se enquadram no escopo da aplicação. O resultado é uma combinação de hipersparâmetros que ocorre devido à filtra de referência espacial como dados de entrada para modelos. Além disso, os alvos são selecionados aleatoriamente com base em mapas de baixa resolução (1:250k).

CITAÇÕES BIBLIOGRÁFICAS

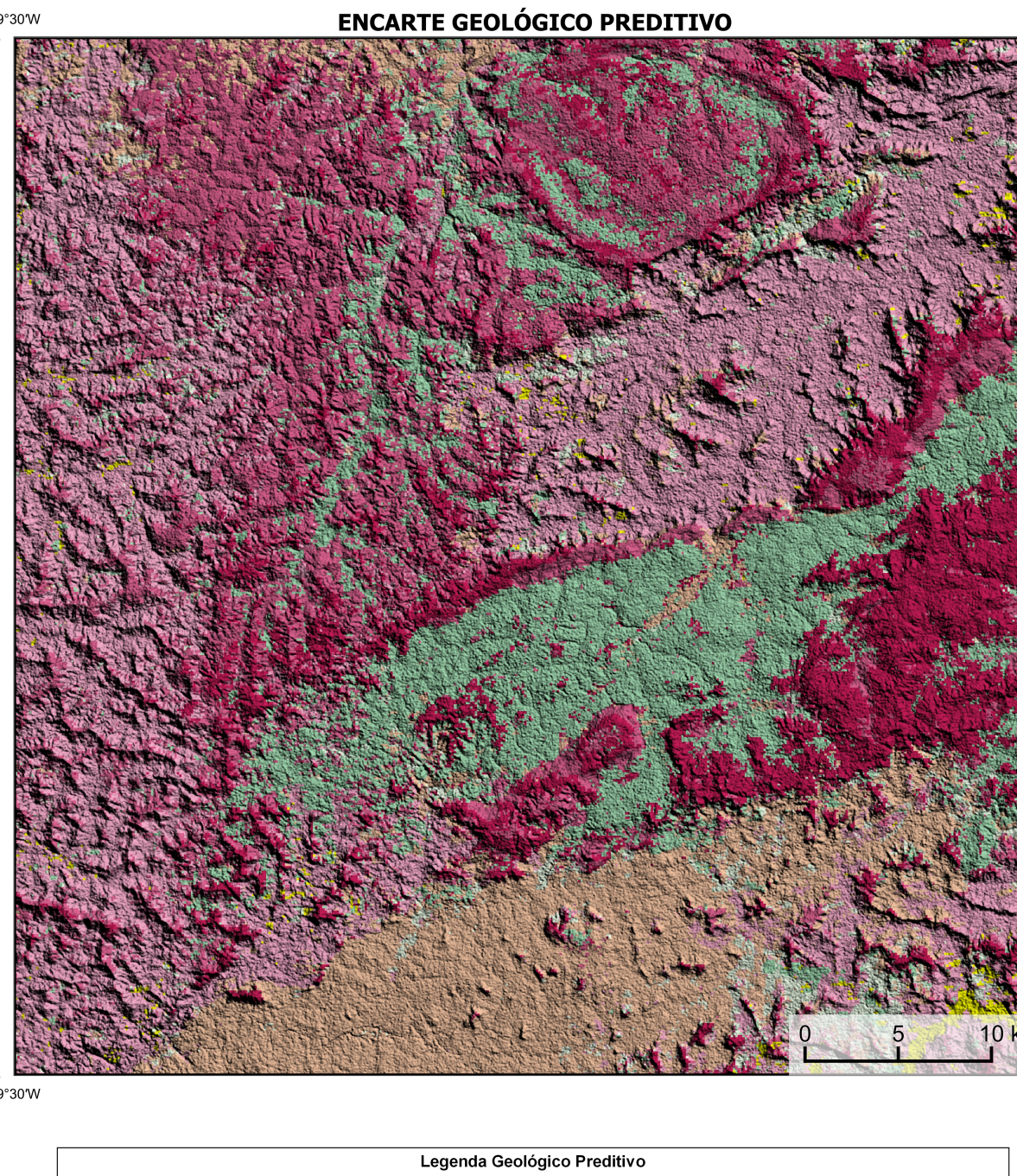
- CHEN, T., & GLESTON, C. 2016. XGBoost: a Scalable Tree Boosting System. In Proceedings of the 22nd ACM SIGKDD International Conference on Knowledge Discovery and Data Mining (pp. 785-794). New York, NY, USA: ACM. <https://doi.org/10.1145/2939672.2939785>
- COSTA, I. S. L., TAVARES, I. C. M., DE OLIVEIRA, J. M. 2019. Predictive lithological mapping through machine learning methods: a case study in the Cimenteiro Linear, Brazil. Journal of Geological Research, Part B: Applied Geology, v. 127, p. 1-10.
- COSTA, I. S. L., SERAFIM, I. C. C. D. O., TAVARE, S. F. M., POLO, H. J. D. O. 2020. Uranium anomalies detection through Random Forest regression. Exploration Geophysics, v. 51, p. 1-10.
- CRACKNELL, M. J., READING, A. 2014. Geological mapping using remote sensing data: A comparison of five machine learning algorithms, their response to variations in the spatial distribution of training data and the use of explicit spatial information. Computers & Geosciences, v. 63, p. 22-33.
- HOLDEN, E. J., DANIEL, M., KOEKS, P. 2008. Towards the automated analysis of regional aeromagnetic data to identify regions prospective for gold deposits. Computer & Geosciences, v. 34, p. 1080-1092.
- READING, A. 2019. A review of geological mapping using machine learning. Computers & Geosciences, v. 125, p. 1-10.
- CRACKNELL, M. J., READING, A. 2019. ENCARTE GEOLÓGICO PREDITIVO - apresentam resultados com objetivo subordinado que visam auxiliar na identificação de potenciais bacias hidrográficas. A resolução e qualidade dos resultados cartográficos está diretamente relacionada aos dados de entrada. Foi utilizado como dados de entrada levantamentos aerogeofísicos com 500 m de profundidade e 100 m de resolução, e levantamentos de superfície com 100 m de resolução. Os dados de sensoramento remoto Landsat 8 das bandas 2 (0.450 - 0.513 μm), 3 (0.525 - 0.600 μm), 4 (0.630 - 0.690 μm), 6 (0.566 - 1.660 μm) e 7 (2.100 - 2.300 μm). Além da cartografia geológica em escala 1:250k, utilizada como target (alvo). A metodologia consiste em separar todos os dados em folhas 1:100k e ajustar qualquer diferença de proporcionalidade entre as imagens a menor resolução dos dados.

O conteúdo disponibilizado nesta carta ("Conteúdo") foi elaborado pelo Serviço Geológico do Brasil - CPRM, com base em dados obtidos através de trabalhos próprios e de referências terceiros. O SGB/CPMR não garante que (i) que o Conteúdo atenda ou se adequa às necessidades de todos os usuários; (ii) que o Conteúdo é adequado e devidamente livre de falhas; (iii) o total preceção de quaisquer dados ou informações contidas no Conteúdo, apesar das precauções de privacidade tomadas pelo SGB/CPMR. Assim, o SGB/CPMR, seus representantes, dirigentes, prepostos, empregados e assessores são todos somente responsáveis por eventuais inconsistências ou omissões contidas no Conteúdo. O SGB/CPMR não se responsabiliza por danos ou perdas que possam resultar da utilização do Conteúdo.

ENCARTE GEOTECTÔNICO



ENCARTE GEOLÓGICO PREDITIVO



RECURSOS MINERAIS



CONVENÇÕES CARTOGRAFICAS



SEM RECURSOS MINERAIS CADASTRADOS NO BANCO DE DADOS CONSULTADOS PARA A FOLHA



GEOQUÍMICA

SEM AQUISIÇÃO DE DADOS DE GEOQUÍMICA NESTA FOLHA

CRÉDITOS DE AUTORIA

- MINISTÉRIO DE MINAS E ENERGIA Adelio Soledade
SECRETARIA DE GEOLOGIA, MINERAÇÃO E TRANSFORMAÇÃO MINERAL Pedro Paulo Dos Prazeres
SERVIÇO GEOLOGICO DO BRASIL - CPRM Rafael Augusto de Freitas Lima
DIRETOR PRESIDENTE Edson Soledade
DIRETORIA DE GEOLOGIA, HIDROGEOLOGIA E GESTÃO TERRITORIAL Alice Silva de Castro
DIRETORIA DE HIDROGEOLOGIA E GESTÃO TERRITORIAL Viviane Carvalho Ferraz
DIRETORIA DE ADMINISTRAÇÃO E FINANÇAS Anderson Henrique de Souza
DIRETORIA DE INFRAESTRUTURA GEOCIENTÍFICA Paola Alfonso Roman

COORDENAÇÃO TÉCNICA NACIONAL

- DEPARTAMENTO DE GEOLOGIA Walter Rodrigues Santos Sobrinho
DEPARTAMENTO DE RECURSOS MINERAIS Mário Henrique Almeida
DIVISÃO DE GEOLOGIA BÁSICA Paack Aranha dos Santos
DIVISÃO DE SENSOREAMENTO REMOTO E GEOPHYSICA Lúcio Gustavo Rodrigues Pinto
DIVISÃO DE GEOPHYSICA Silvana de Carvalho Melo

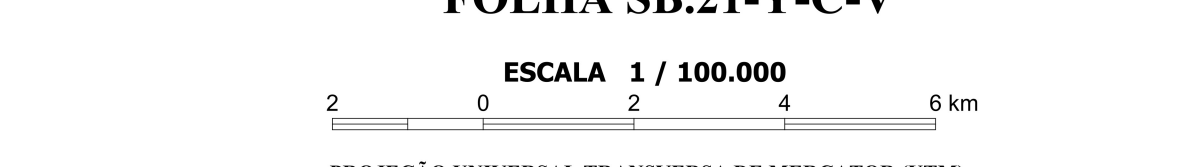
REFLEXÃO BIBLIOGRÁFICA

- PINTO, L. G. R., FERREIRA, M. PINTO, V. P., CORREA, R., LIMA, R. A., SOLEDADE, A. D., ALVES, M. A., OLIVEIRA, A. C. S., SILVA, A. P., COSTA, U. A. P., MELO, M. R. E. Carta de anomalias, folha SB.21-Y-C-V. São Paulo: CPRM, 2022. 1 mapa color. Escala 1:100.000.

CITACAO BIBLIOGRÁFICA

- PINTO, L. G. R. et al., 2022. Carta de anomalias, folha SB.21-Y-C-V. São Paulo: CPRM.

CARTA DE ANOMALIAS



FOLHA SB.21-Y-C-V

ESCALA 1 / 100.000
PROJEÇÃO UNIVERSAL TRANSVERSA DE MERCATOR (UTM)
Origem da quinzenografia UTM: Equador e Meridiano central 57° W. Gr. Fuso: 21S, arescidas as constantes: 10.000 km e 500 km, respectivamente.
Datums horizontal: SIRGAS 2000

2 0 2 4 6 km

2022

SGB/CPMR

SERVIÇO GEOLOGICO DO BRASIL - CPRM

MÍNISTÉRIO DE MINAS E ENERGIA